



## تحلیل دینامیکی سدهای خاکی تحت زلزله های مبتنی بر روش کاهش نویز

فاطمه نصیری، حامد جاودانیان\*، علی حیدری

دانشکده فنی و مهندسی، دانشگاه شهرکرد، شهرکرد، ایران

تاریخچه داوری:  
دریافت: ۱۳۹۸/۱۰/۲۱  
بازنگری: ۱۳۹۸/۱۲/۲۹  
پذیرش: ۱۳۹۹/۰۲/۳۰  
ارائه آنلاین: ۱۳۹۹/۰۳/۰۸

كلمات کلیدی:  
سد خاکی  
تحلیل دینامیکی  
تئوری موجک  
اهش نویز  
مدل‌سازی عددی

**خلاصه:** در این مطالعه، با استفاده از روش عددی المان محدود به تحلیل دینامیکی سدهای خاکی با هسته رسی پرداخته شد. پاسخ لرزه ای سدهای خاکی تحت رکوردهای زلزله اصلی و رکوردهای تجزیه شده مبتنی بر تئوری موجک بررسی شد. رکوردهای زلزله با استفاده از روش کاهش نویز و تا پنج سطح تجزیه شدند. نسبت طیف پاسخ شتاب به شتاب بیشینه، نسبت طیف پاسخ سرعت به سرعت بیشینه، نسبت طیف پاسخ جابه‌جایی به جابه‌جایی بیشینه، طیف دامنه فوریه و تاریخچه زمانی شدت آریاس تاج سدهای خاکی تحت رکوردهای زلزله اصلی و رکوردهای تجزیه شده مبتنی بر تئوری موجک محاسبه شد. نتایج نشان می‌دهد که نسبت طیف‌های پاسخ شتاب تاج سد خاکی تحت رکوردهای تجزیه شده مبتنی بر روش کاهش نویز تا سطح سوم و نسبت طیف‌های سرعت و جابه‌جایی تاج سد تا سطح چهارم، در مقایسه با رکوردهای اصلی زلزله از دقت قابل قبولی برخوردار هستند. اختلاف حداکثر مقدار نسبت طیف شتاب، نسبت طیف سرعت و نسبت طیف جابه‌جایی تحت رکورد حاصل از سطح سوم تجزیه و رکورد اصلی برای زلزله‌های مورد استفاده به ترتیب برابر با  $4/19$ ,  $21/51$ ,  $8/62$  درصد می‌باشد. نتایج تحلیل‌های دینامیکی نشان می‌دهد که طیف دامنه فوریه و شدت آریاس تاج سد خاکی تحت رکوردهای تجزیه شده مبتنی بر روش کاهش نویز تا سطح چهارم از سازگاری خوبی با رکوردهای اصلی برخوردار می‌باشند. نتایج حاکی از آن است که در تحلیل دینامیکی سدهای خاکی می‌توان رکوردهای تجزیه شده مبتنی بر تئوری موجک را جایگزین رکوردهای زلزله اصلی نمود.

### ۱ - مقدمه

پلکانوس و همکاران<sup>۳</sup> [۸] و [۹] اثر اندرکنش سد و مخزن و همچنین اثرات هندسه دره بر پاسخ لرزهای سد خاکی لاویلیتا را بررسی کردند. رمپلو و همکاران<sup>۴</sup> [۱۰] با استفاده از روش المان محدود و همچنین تحلیلهای مبتنی بر جابه‌جایی به بررسی رفتار لرزهای سد خاکی مارانا کاپاسیوتی<sup>۵</sup> پرداختند. نتایج ایشان نشان داد که با افزایش عمق سنگ بستر، جابه‌جایی‌های لرزهای و همچنین شتاب حداکثر تاج سد خاکی کاهش می‌یابد. دینگ و همکاران<sup>۶</sup> [۱۱] و آلبرتی و

از زیبایی رفتار دینامیکی سدهای خاکی تحت بارگذاری زلزله از اهمیت بالایی برخوردار است. محققین با استفاده از روش‌های مختلف به تحلیل دینامیکی سدهای خاکی پرداختند [۱-۵]. الگمل و همکاران<sup>۷</sup> [۶] با استفاده از روش بلوك لغزش به تحلیل دینامیکی سد خاکی لاویلیتا پرداختند. تحلیل پاسخ لرزهای این سد با استفاده از روش عددی المان محدود توسط پاپالو و بیلاک<sup>۸</sup> [۷] انجام شد.

3 Pelecanos et al  
4 Rampello et al  
5 Marana Capacciotti  
6 Ding et al

1 Elgamal et al  
2 Papalou and Bielak

\* نویسنده عهده‌دار مکاتبات: [javadanian@sku.ac.ir](mailto:javadanian@sku.ac.ir)

حقوق مؤلفین به نویسنده‌گان و حقوق ناشر به انتشارات دانشگاه امیرکبیر داده شده است. این مقاله تحت لیسانس آفرینندگی مردمی (Creative Commons License) در دسترس شما قرار گرفته است. برای جزئیات این لیسانس، آدرس <https://www.creativecommons.org/licenses/by-nc/4.0/legalcode> دیدن فرمائید.



حال این سؤال پیش می‌آید که آیا میتوان در مسائل عملی ژئوتکنیک لرزه‌های مانند تحلیل پاسخ لرزه‌ای سدهای خاکی، رکوردهای مبتنی بر تئوری موجک را جایگزین رکوردهای اصلی نمود؟ این مطالعه بر تحلیل پاسخ لرزه‌ای سد خاکی تحت ارتعاشات زلزله تمرکز دارد. سد خاکی با استفاده از برنامه‌ی المان محدود Plaxis مدل‌سازی و تحت رکوردهای زلزله تجزیه شده مبتنی بر تئوری موجک تحلیل دینامیکی شد. رکوردهای زلزله با استفاده از روش de-noising و بررسی دینامیکی شد. رکوردهای زلزله با استفاده از روش de-noising و تا پنج سطح تجزیه شدند. پاسخ لرزه‌ای تاج سدهای خاکی تحت رکوردهای زلزله اصلی و رکوردهای تجزیه شده در سطوح مختلف بررسی شد. نسبت طیف شتاب به شتاب بیشینه رکورد زلزله ( $S_a / S_{a_{max}}$ )، نسبت طیف سرعت به سرعت بیشینه ( $S_v / S_{v_{max}}$ )، نسبت طیف جابه‌جایی به جابه‌جایی بیشینه ( $S_d / d_{max}$ )، طیف دامنه فوریه و تاریخچه زمانی شدت آریاس تاج سد خاکی تحت رکوردهای اصلی و تجزیه شده مقایسه شد.

## ۲- تئوری موجک

تبديل موجک<sup>۱۱</sup> به عنوان یک ابزار ریاضی پیشرفته در پردازش سیگنال استفاده می‌شود. تئوری موجک در مسائل مختلف مهندسی عمران استفاده شده است [۳۱]. برای فهم بهتر تبدیل موجک می‌توان آن را با تبدیل فوریه مقایسه کرد. تبدیل فوریه، بدون توجه به موقعیت اتفاق فرکانسها، یک سیگنال را بصورت توانهای مختلف از امواج سینوسی و فرکانس تفکیک می‌کند. بر خلاف تبدیل فوریه، تبدیل موجک متناسب با فرکانس عمل می‌کند [۳۲ و ۳۳]. با افزایش فرکانس در امتداد سری زمانی، مقیاس موجک کاهش می‌یابد و بر عکس با کاهش فرکانس، مقیاس موجک افزایش می‌یابد [۳۴]. تبدیلات موجک به دو نوع پیوسته و گستته تقسیم می‌شوند. در تبدیل موجک پیوسته، فریم مورد نظر منقبض یا منبسط شده، انتقال داده می‌شود و سپس از حاصل ضرب آن در سیگنال، انتگرال زمانی گرفته می‌شود. تبدیل موجک پیوسته<sup>۱۲</sup> توسط رابطه‌ی زیر تعریف می‌شود:

$$CWT_r^{\rho} = \int r(t) \rho_{a,b}^*(t) dt \quad (1)$$

همکاران<sup>۱</sup> [۱۲] به ترتیب پاسخ لرزه‌ای سدهای خاکی شیزیپینگ<sup>۲</sup> و سان پیترو<sup>۳</sup> را به روش عددی المان محدود مطالعه قرار دادند. کاستلی و همکاران<sup>۴</sup> [۱۳] شتاب افقی حداکثر حاصل از تحلیل دینامیکی سد خاکی لنتینی تحت زلزله سانتالوسیا به روش‌های عددی مختلف را بررسی و مقایسه کردند. مکانیسمهای گسیختگی و رفتار دینامیکی سد خاکی فوجینوما که تحت زلزله توهوکو گسیخته شد، توسط چارتپانگون<sup>۵</sup> و همکاران [۱۴] بررسی شد.

برخی از محققین با استفاده از آزمایش‌های میز لرزه<sup>۶</sup> [۱۵] و آزمایش‌های سنتریفیوژ<sup>۷</sup> [۱۶] به بررسی رفتار لرزه‌ای سدهای خاکی پرداختند. نتایج مطالعه ایکسو و همکاران<sup>۸</sup> [۱۷] بر روی تحلیل دینامیکی سدهای سنگریزهای با رویه بتنی نشان داده که پاسخ شتاب و تغییرشکلهای لرزه‌ای این سدها تحت تأثیر خصوصیات سنگریز بوده و رویه بتنی اثر قابل توجهی بر رفتار لرزه‌ای نخواهد داشت. نتایج مطالعه عددی آندریانوپولوس و همکاران<sup>۹</sup> [۱۸] بر رفتار لرزه‌ای سدهای خاکی حاکی از آن است که شتاب بیشینه تاج سد تحت تأثیر ارتفاع سد، خصوصیات حرکت زلزله ورودی، و سختی خاک فونداسیون می‌باشد. محققین تغییرشکلهای و نشستهای لرزه‌ای سدهای خاکی را بررسی و مدل‌هایی را برای ارزیابی آنها ارائه کردند [۱۹-۲۳].

یکی از بهترین روش‌ها برای جداسازی فرکانس‌های زلزله، استفاده از تبدیل موجک<sup>۱۰</sup> است [۲۴ و ۲۵]. تبدیل موجک ابزاری قدرتمند برای تحلیل سیگنال‌ها است که میتواند اطلاعات رکورد زلزله را بطور همزمان در حوزه‌ی زمان و فرکانس فراهم سازد [۲۶]. این روش در تحلیلهای مرتبط با زلزله به وفور مورد استفاده قرار گرفته است، از جمله تحلیل دینامیکی سازه‌ها [۲۷]، فیلتر کردن رکوردهای جنبش زمین [۲۸]. همچنین محققین این روش را در طراحی بهینه سازه‌ها تحت بارگذاری زلزله بکار برندند [۲۹ و ۳۰].

مرور تحقیقات گذشته حاکی از آن است که تبدیل موجک روشی مرسوم و پذیرفته شده برای اصلاح و تجزیه‌ی رکوردهای زلزله است.

1 Aliberti et al

2 Shiziping

3 San Pietro

4 Castelli et al

5 Charatpangoon et al

6 Shaking table

7 Centrifuge

8 Xu et al

9 Andrianopoulos et al

10 Wavelet Transform

می‌شوند؛ در حالی که در روش تبدیل موجک گستته فقط تعداد محدودی از مقیاسها مورد تجزیه و تحلیل قرار می‌گیرند [۳۳].

### ۲-۱- موجک با کاهش نویز

در روش کاهش نویز، بدون کاهش نمونه، موج اصلی زلزله به دو بخش فرکانسهای بالا و فرکانسهای پایین تقسیم می‌شود. فرکانسهای بالا از تابع  $\rho$  و فرکانسهای پایین از تابع  $r$  بدست می‌آیند. مؤلفه‌ی فرکانس پایین زلزله را تقریبات (A) و مؤلفه‌ی فرکانس بالای زلزله را جزئیات (D) مینامند. در تبدیل موجک گستته فرکانسهای بالای رکوردهای زلزله حذف می‌شوند. مجدداً بر فرکانسهای پایین زلزله تبدیل موجک دیگری اعمال می‌شود و به دو بخش تقریبات و جزئیات تقسیم می‌شود و بخش جزئیات حذف می‌گردد. این روند تا زمانی که فرکانس‌های بالای زلزله از بین بروند و موج زلزله‌ی حاصل در مقایسه با موج اصلی زلزله خطای کمی داشته باشد، ادامه داده می‌شود [۳۷ و ۳۸]. فلوچارت تبدیل موجک همراه با کاهش نویز برای زلزله دره ایمپریال در شکل ۱ نشان داده شده است.

### ۳- رکوردهای زلزله

در این مطالعه از ۸ رکورد زلزله با بزرگی‌های متفاوت استفاده شده است. نام، زمان وقوع، بزرگی ( $M_w$ ) و شتاب حداکثر زمین ( $a_{max}$ ) رکوردهای زلزله در جدول ۱ ارائه شده است. این زلزله‌ها در بازه‌ی ۷/۶ تا ۱۹۶۱ تا ۲۰۰۴ رخ داده است. بزرگی زلزله‌ها از ۵/۵ تا ۸/۴۵ متر بر مجدور ثانیه بوده است (جدول ۱). رکوردهای زلزله با استفاده از روش کاهش نویز و تا ۵ سطح تجزیه شدند. بنابراین ۸ رکورد زلزله اصلی و ۴۰ رکورد حاصل از تجزیه (یعنی مجموعاً ۴۸ رکورد) به عنوان حرکت ورودی در تحلیل دینامیکی سدهای خاکی مورد استفاده قرار گرفت.

### ۴- مدل‌سازی عددی

جهت ارزیابی رفتار دینامیکی سدهای خاکی تحت بارگذاری زلزله از برنامه المان محدود Plaxis استفاده شد [۳۹]. روشهای عددی به وفور در ارزیابی رفتار دینامیکی سدهای خاکی و نهشته‌های خاکی

که در این رابطه،  $b$  نشان‌دهنده‌ی انتقال<sup>۱</sup>،  $a$  بیانگر مقیاس (که متناظر با معکوس فرکانس است)، اندیس  $*$  نشان‌دهنده‌ی مزدوج مختلط<sup>۲</sup>،  $(t)$  موج اصلی (که در این مطالعه تاریخچه زمانی شتاب زلزله است)، و  $\rho$  تابع موج اصلی برای تولید توابع دیگر است. کلیه توابع  $\rho_{a,b}^*$  که از تابع اصلی مشتق می‌شوند، تابع موجکی (WF) نامیده می‌شوند و از رابطه‌ی زیر بدست می‌آیند:

$$\rho_{a,b}(t) = \frac{1}{\sqrt{a}} \rho\left(\frac{t-b}{a}\right) \quad (2)$$

تبدیل گستته موجک، یک سری موجک است که از تبدیل موجک پیوسته حاصل شده است [۳۵]. در این روش نوعی توصیف زمان-مقیاس از سیگنال گستته با استفاده از فیلترهای دیجیتال ارائه می‌گردد. در تبدیل موجک گستته، فیلترهایی با فرکانس قطعه‌ای مختلف برای تحلیل سیگنال در مقیاس‌های متفاوت بکار برده می‌شود. با عبور سیگنال از فیلترهای بالاگذر و پائین‌گذر، فرکانسهای مختلف آن آنالیز می‌شود. در این روش، رزولوشن سیگنال توسط عملکرد فیلترها کنترل می‌شود و مقیاس از طریق نمونهبرداری رو به پایین<sup>۳</sup> یا نمونهبرداری رو به بالا<sup>۴</sup> تغییر می‌کند [۳۶]. برای محاسبه ضرائب تبدیل گستته موجک، مقادیر گستته  $a_0^j$  و  $b = ka_0^j b_0$  در رابطه (۲) جایگزین می‌شود:

$$\rho_{j,k}(t) = \frac{1}{\sqrt{a_0^j}} \rho\left(\frac{t-ka_0^j b_0}{a_0^j}\right) \quad (3)$$

پس از سادهسازی رابطه فوق داریم:

$$\rho_{j,k}(t) = a_0^{j/2} \rho(a_0^{-j} t - kb_0) \quad (4)$$

با جایگذاری رابطه (۴) در رابطه (۱)، تبدیل موجک گستته بدست می‌آید:

$$DWT_r^\rho = \int_{-\infty}^{+\infty} r(t) \rho_{j,k}^*(t) dt \quad (5)$$

لازم به ذکر است که در روش تبدیل موجک پیوسته، همه- مقیاسها یا فرکانسهای ممکن از سری زمانی شناسایی و آنالیز

<sup>1</sup> Translation

<sup>2</sup> Complex conjugate

<sup>3</sup> Down-sampling

<sup>4</sup> Up-sampling

شده است. نسبت طیف شتاب ( $S_v/a_{max}$ )، نسبت طیف سرعت ( $v_{max}$ )، نسبت طیف جابه‌جایی ( $S_d/d_{max}$ )، طیف دامنه فوریه و تاریخچه زمانی شدت آریاس در تاج سد خاکی با ارتفاع ۵۰ متر تحت رکوردهای زلزله اصلی (MER) و رکوردهای تجزیه شده (DER) مبتنی بر روش کاهش نویز مورد بحث قرار گرفته است.

#### ۵-۱- نسبت طیف شتاب

بیشینه شتاب ( $a_{max}$ ) به صورت حداکثر مقدار مشخصه ثبت شده در رکورد زلزله تعریف می‌شود. شکل ۳ نشانگر نسبت طیف پاسخ شتاب تاج سد خاکی با ارتفاع ۵۰ متر به حداکثر شتاب ( $S_v/a_{max}$ ) تحت رکوردهای اصلی زلزله (جدول ۱) و رکوردهای تجزیه شده به روش de-noising می‌باشد. لازم به ذکر است که طیف پاسخهای شتاب در میرایی ۵٪ محاسبه شده است. نتایج نشان میدهد که نسبت de-noising  $S_v/a_{max}$  تحت رکوردهای تجزیه شده مبتنی بر روش de-noising تا سطح تجزیه سوم از مطابقت بالایی با نسبت  $S_v/a_{max}$  تاج سد خاکی تحت رکوردهای اصلی زلزله برخوردار است.

#### ۵-۲- نسبت طیف سرعت

یکی از پارامترهایی که به تشریح دامنه حرکات زمین می‌پردازد، سرعت بیشینه ( $v_{max}$ ) می‌باشد. نسبت طیف سرعت تاج سد خاکی به سرعت بیشینه رکوردهای اصلی و تجزیه شده ( $S_v/v_{max}$ ) در شکل ۴ نشان داده شده است. نتایج حاکی از آن است که نسبت  $S_v/v_{max}$  تحت رکوردهای اصلی و تجزیه شده مبتنی بر روش کاهش نویز (DNM) تا سطح تجزیه چهارم با مقادیر نسبت طیف سرعت رکورد اصلی، سازگاری خوبی دارد.

#### ۵-۳- نسبت طیف جابه‌جایی

نسبت طیف جابه‌جایی به جابه‌جایی بیشینه رکوردهای اصلی و تجزیه شده ( $S_d/d_{max}$ ) در شکل ۵ ارائه شده است. با توجه به شکل ۵ مشاهده می‌شود که مقادیر  $S_d/d_{max}$  تحت رکوردهای اصلی و تجزیه شده به روش کاهش نویز (DNM) تا سطح چهارم از سازگاری خوبی با مقادیر رکورد اصلی برخوردار هستند.

بکار گرفته شدند [۱۰ و ۲۱]. در این مطالعه با استفاده از برنامه المان محدود Plaxis به تحلیل پاسخ لرزه‌های سد خاکی با ارتفاع  $H=50m$  با شبیه  $(V):2/2(H)$  پرداخته شد. شکل هندسی مدل سد خاکی با ارتفاع ۵۰ متر در شکل ۲ نشان داده شده است.

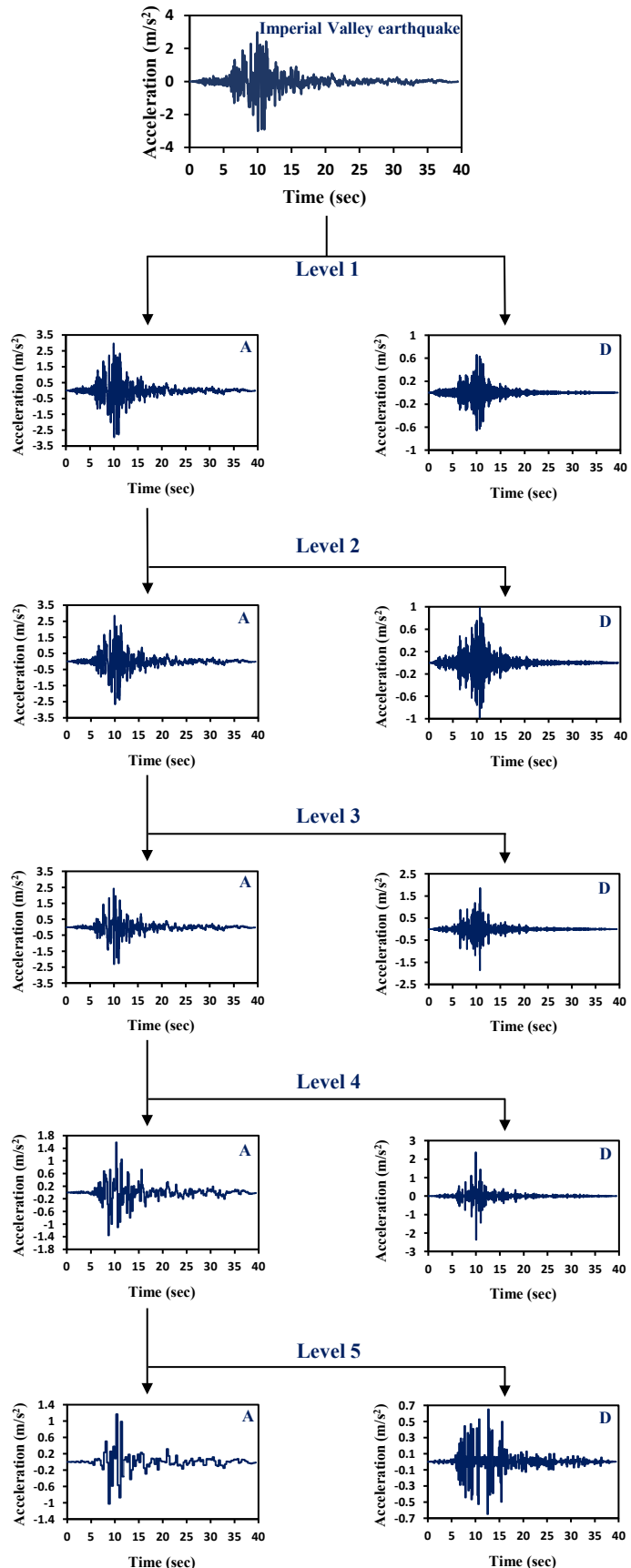
مشخصات هسته، پوسته و پی سدهای خاکی مدل‌سازی شده شامل وزن مخصوص (γ)، چسبندگی (C)، زاویه اصطکاک داخلی (φ)، مدول الاستیک (E)، نفوذپذیری (k) و نسبت پواسون (ν) در جدول ۲ ارائه شده است. این مقادیر بر اساس تحقیقات گذشته و همچنین بازه‌های این پارامترها برای سدهای خاکی [۲، ۸ و ۹] انتخاب گردید.

در مدل‌سازیهای انجام شده در این مطالعه، جهت شبیه‌سازی رفتار بدنه سد خاکی از مدل رفتاری الاستوپلاستیک مبتنی بر معیار موهر-کولمب و برای رفتار پی سد از مدل رفتاری الاستیک استفاده شد. جهت انتشار صحیح امواج در محیط خاکی در طی تحلیل دینامیکی، اندازه‌ی المانهای بکار گرفته شده در مدل‌سازی سد خاکی (۱۱) بر اساس پیشنهاد کوهلمیر و لیسمر<sup>۱</sup> [۴۰] بصورت  $10\leq A\leq 1$  تعیین شد. پارامتر λ طول موج مربوط به بالاترین فرکانس ورودی تحریک زلزله است. این پارامتر بر اساس حداقل سرعت موج برشی ( $V_s$ ) و حداکثر فرکانس (f) تحریک ورودی محاسبه می‌شود.

در تحلیلهای استاتیکی، مرزهای طرفین در جهت افقی و مرز پایین مدل در هر دو جهت محدود شد. در تحلیلهای دینامیکی، جهت جلوگیری از انعکاس موج از مرزهای جاذب استفاده شد. در مدل‌سازیهای لرزه‌های انجام شده در این مطالعه از میرایی رایلی استفاده شده است. ضرایب میرایی رایلی  $\alpha=\beta=0.01$  در نظر گرفته شد. این ضرایب در روش عددی المان محدود مورد استفاده، بر اساس رابطه  $[C]=\alpha[M]+\beta[K]$  محاسبه می‌شوند که  $M, C$  و  $K$  به ترتیب بیانگر ماتریس میرایی، جرم و سختی می‌باشند [۳۹]. محرک ورودی به شکل تاریخچه زمانی شتاب به پی سد خاکی اعمال شد و رفتار لرزه‌های تاج سد تحت رکوردهای زلزله‌های مختلف بررسی شد.

#### ۵- نتایج و بحث

در این بخش، نتایج تحلیل دینامیکی سد خاکی تحت رکوردهای زلزله اصلی و رکوردهای زلزله تجزیه شده به روش کاهش نویز ارائه

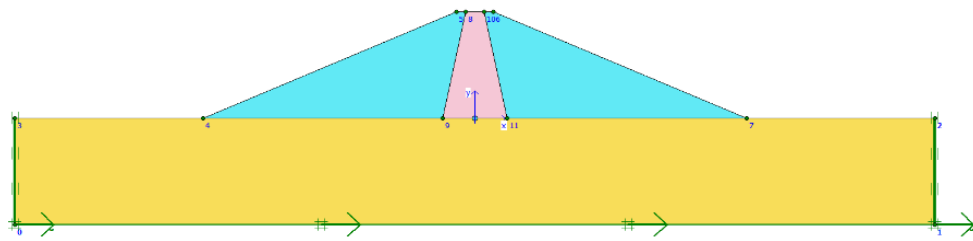


شکل ۱. فرآیند تجزیه رکورد زلزله دره ایمپریال تا پنج سطح با استفاده از روش کاهش نویز مبتنی بر موجک  
Fig. 1. Decomposition process of Imperial Valley earthquake up to 5 level using wavelet-based de-noising method

### جدول ۱. مشخصات زلزله های مورد استفاده در تحلیل دینامیکی

**Table 1. Earthquakes used in dynamic analysis**

ردیف	نام زلزله	سال وقوع	بزرگی زلزله	$a_{max}$ (m/s <sup>2</sup> )
۱	ابهر	۲۰۰۲	۶/۴	۰/۲۸
۲	دره ایمپریال	۱۹۷۹	۶/۵	۳/۰۰
۳	رودسرا	۲۰۰۴	۶/۴	۰/۴۰
۴	سن فرناندو	۱۹۷۱	۶/۶	۰/۹۲
۵	کوبه	۱۹۹۵	۶/۹	۳/۴۵
۶	کوکائی	۱۹۹۹	۷/۶	۳/۲۳
۷	لومابریتا	۱۹۸۹	۶/۹	۳/۴۴
۸	هالیستر	۱۹۶۱	۵/۵	۱/۹۹

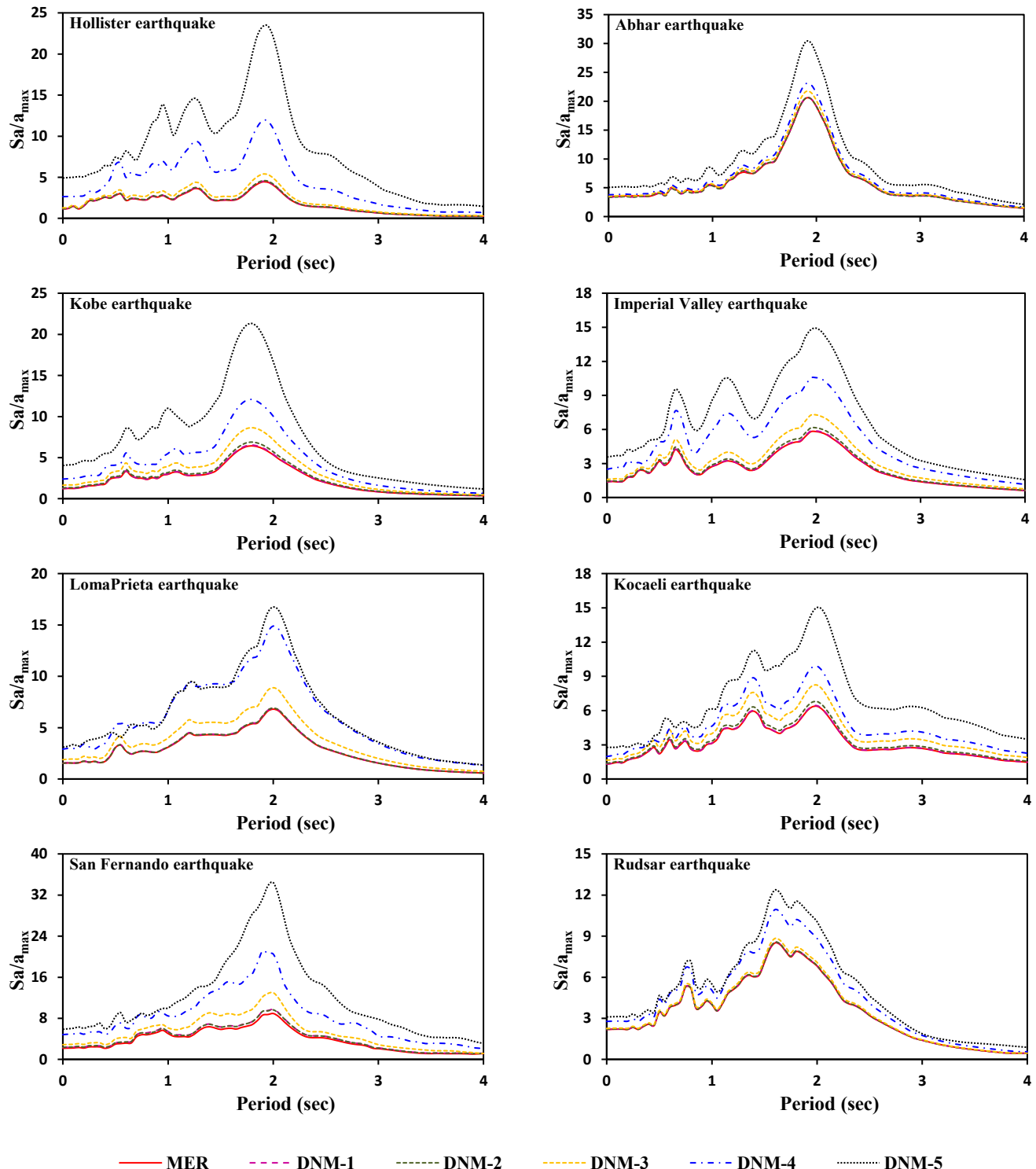


شکل ۲. هندسه سد خاکی در مدل‌سازی عددی  
**Fig. 2. Geometrical configuration of earth dam in numerical modeling**

### جدول ۲. مشخصات مصالح مورد استفاده در مدل‌سازی عددی

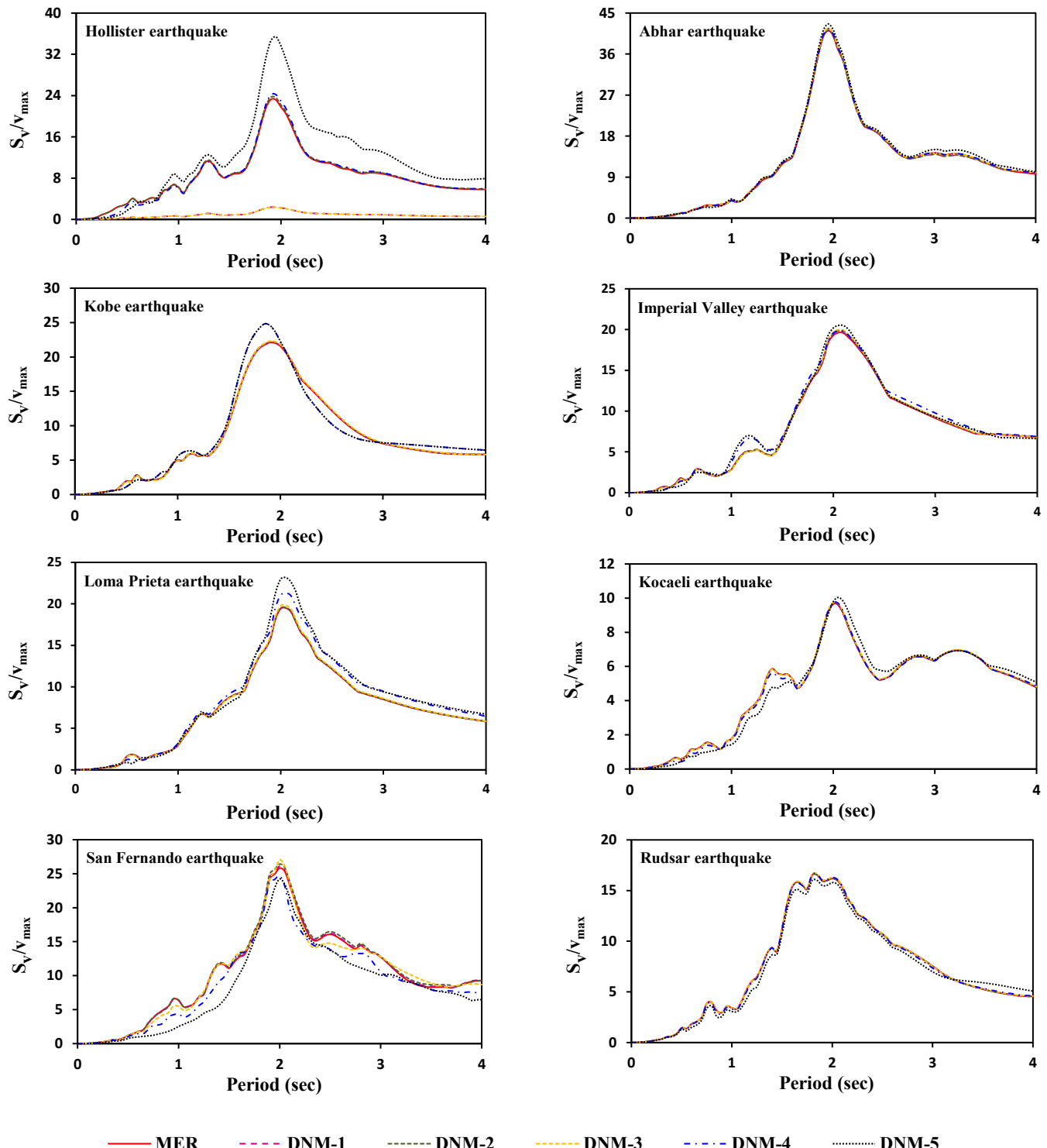
**Table 2. Characteristics of materials used in numerical modeling**

$v$ (-)	$k$ (cm/s)	$E$ (MPa)	$\varphi$ (deg.)	$C$ (kPa)	$\gamma$ (kN/m <sup>3</sup> )	مصالح
۰/۳۰	$10^{-7}$	۲۷	۲۵	۳۰	۱۷/۵	هسته
۰/۲۵	$2 \times 10^{-3}$	۳۱	۳۰	۲۰	۲۰	پوسته
۰/۲۵	$10^{-6}$	۱۰۰۰	-	-	۲۰	فونداسیون



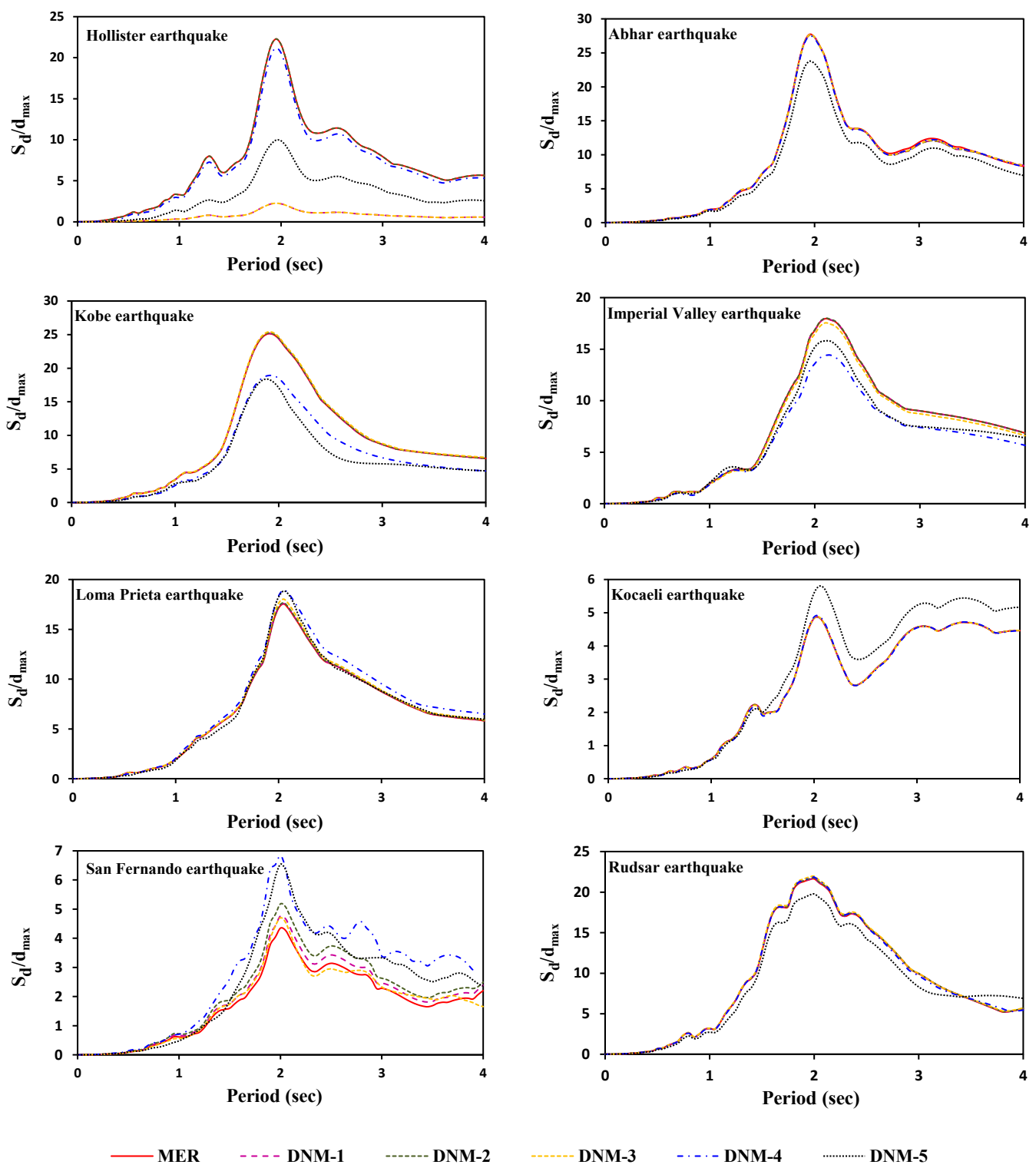
شکل ۳. نسبت طیف پاسخ شتاب تاج سد خاکی تحت رکوردهای زلزله اصلی و تجزیه شده

Fig. 3. Ratio of acceleration response spectrum of earth dam crest under the main and decomposed earthquake records



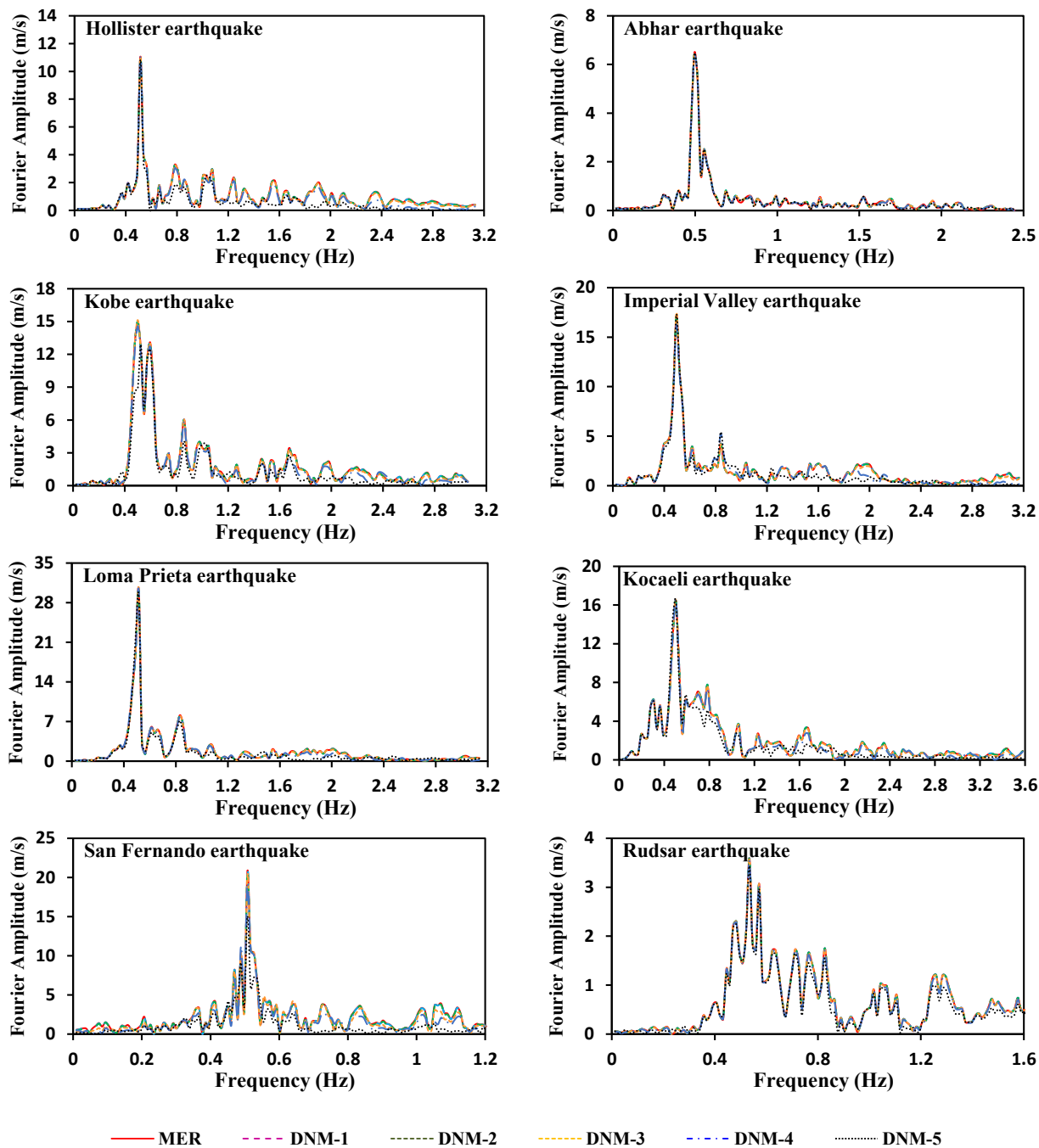
شکل ۴. نسبت طیف سرعت تاج سد خاکی تحت رکوردهای زلزله اصلی و تجزیه شده

Fig. 4. Ratio of velocity response spectrum of earth dam crest under the main and decomposed earthquake records



شکل ۵. نسبت طیف جابه جایی تاج سدخاکی تحت رکوردهای زلزله اصلی و تجزیه شده

Fig. 5. Ratio of displacement response spectrum of earth dam crest under the main and decomposed earthquake records



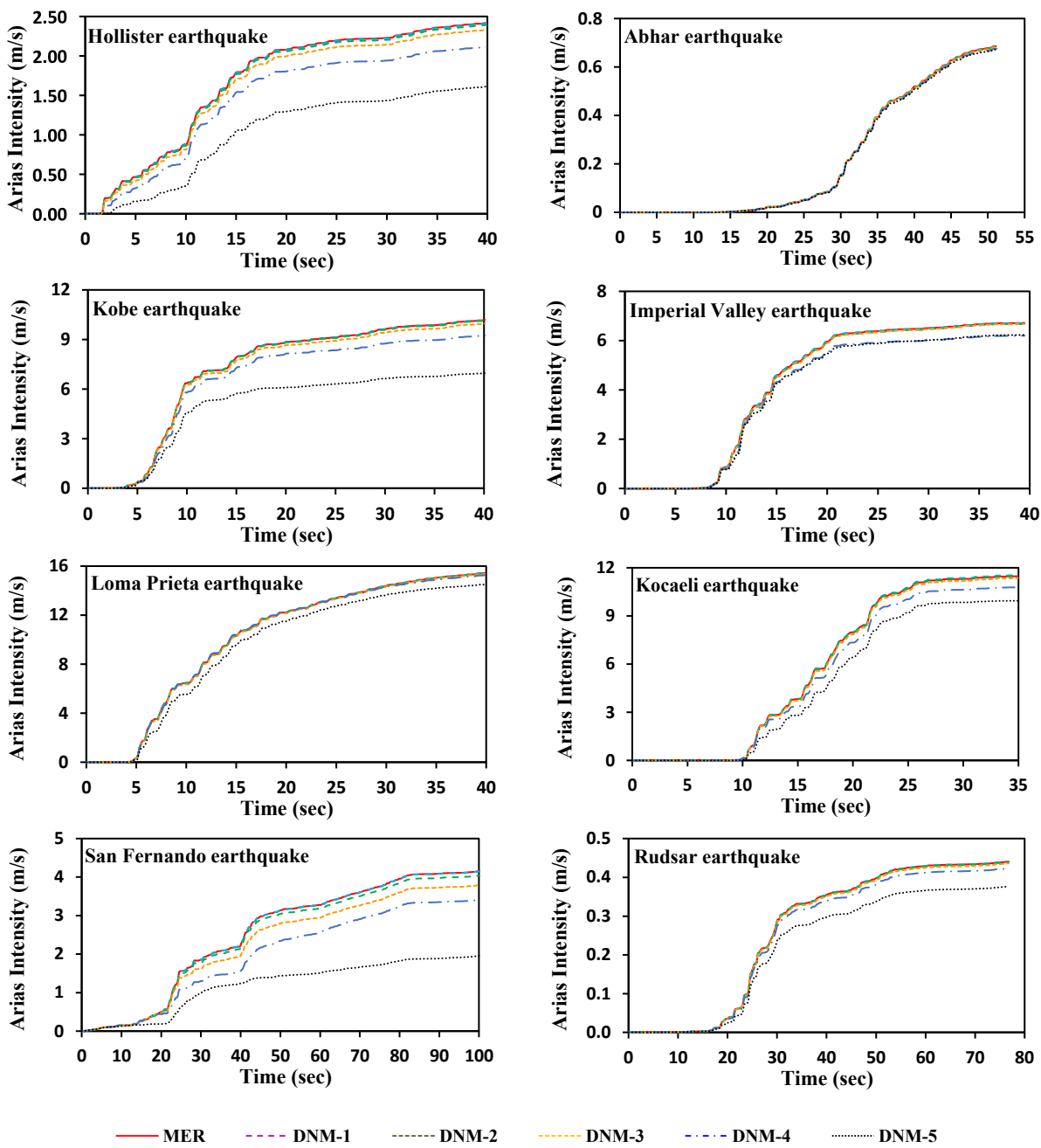
شکل ۶. طیف دامنه فوریه تاج سد خاکی تحت رکوردهای زلزله اصلی و تجزیه شده

Fig. 6. Fourier amplitude spectrum of earth dam crest under the main and decomposed earthquake records

طیف فوریه می تواند بخوبی محتوای فرکانسی رکورد زلزله را معرفی نماید. همان‌طور که در شکل ۶ مشاهده می شود، طیف دامنه فوریه شتاب تاج سد خاکی تحت رکوردهای تجزیه شده مبتنی بر DNM از سازگاری بالایی با طیف دامنه فوریه تحت رکورد اصلی زلزله برخوردار است.

#### ۴-۵- طیف دامنه فوریه

طیف دامنه فوریه شتاب تاج سد خاکی با ارتفاع ۵۰ متر تحت رکوردهای زلزله اصلی (MER) و رکوردهای تجزیه شده مبتنی بر روش کاهش نویز (DNM)، در شکل ۶ نشان داده شده است. طیف دامنه فوریه نشانگر نحوه توزیع دامنه با فرکانس می باشد. این طیف اهمیت فرکانس‌های موجود در یک سیگنال را نشان می دهد.



شکل ۷. شدت آریاس تاج سد خاکی تحت رکوردهای زلزله اصلی و تجزیه شده

Fig. 7. Arias intensity of earth dam crest under the main and decomposed earthquake records

می نماید. شدت آریاس از رابطه (۶) محاسبه می شود:

$$I_a = \frac{\pi}{2g} \int_0^t [a(t)]^2 dt \quad (6)$$

که  $g$  شتاب گرانش،  $a(t)$  تاریخچه زمانی شتاب زلزله و  $t_g$  زمان زلزله است. شکل ۷ تاریخچه زمانی شدت آریاس تاج سد خاکی با ارتفاع ۵۰ متر تحت رکوردهای زلزله اصلی و رکوردهای تجزیه شده

#### ۵-۵- شدت آریاس

شدت آریاس ( $I_a$ ) عبارت است از مجموع کل انرژی در واحد وزن حذب شده در پایان یک زلزله توسط مجموعه ای نامحدود از نوسانگرهای یک درجه آزادی بدون میرایی [۴۱]. شدت آریاس یکی از پارامترهای ارزشمند لرزه‌ای است که متناسب با کل انرژی منتقل شده توسط امواج لرزه‌ای به خاک است. این پارامتر، هر سه مشخصه‌ی فرکانس، دامنه و مدت جنبش نیرومند زمین را منعکس

و شدت آریاس تاج سدهای خاکی تحت رکوردهای اصلی و تجزیه شده نیز مؤید این موضوع است. از این رو، رکوردهای مبتنی بر روش کاهش نویز می‌توانند نقش رکوردهای اصلی زلزله را در تحلیلهای دینامیکی سدهای خاکی ایفا نمایند.

مبتنی بر روش کاهش نویز را نشان میدهد. همان‌طور که در شکل ۷ مشاهده می‌شود، شدت آریاس تاج سد خاکی تحت رکوردهای تجزیه شده مبتنی بر روش کاهش نویز تا سطح چهارم در مقایسه با شدت آریاس تحت رکوردهای اصلی زلزله (جدول ۱) از دقت بالایی برخوردار است.

## فهرست علائم

### علائم انگلیسی

تبديل موجک پيوسته	<i>CWT</i>
موج اصلی	<i>r(t)</i>
طيف شتاب، $m/s^2$	<i>S_a</i>
شتاب بيшиينه رکورد زلزله، $m/s^2$	<i>a<sub>max</sub></i>
طيف سرعت، $m/s$	<i>S_v</i>
سرعت بيшиينه رکورد زلزله، $m/s$	<i>v<sub>max</sub></i>
طيف جابه‌جايی، $m$	<i>S_d</i>
بيشيينه جابه‌جايی رکورد زلزله، $m$	<i>d<sub>max</sub></i>
شدت آریاس، $m/s$	<i>Ia</i>
تاريχچه زمانی شتاب زلزله، $s$	<i>a(t)</i>
زمان زلزله، $s$	<i>tg</i>
روش کاهش نویز	<i>DNM</i>
رکورد زلزله اصلی	<i>MER</i>
رکورد زلزله تجزیه شده	<i>DER</i>
<b>علائم یونانی</b>	
تابع موج اصلی	$\rho$
<b>زيرنويس</b>	
مقیاس، $1/Hz$	$a$
انتقال	$b$

### مراجع

- [1] G. Gazetas, P. Dakoulas, Seismic analysis and design of rockfill dams: state-of-the-art, Soil Dynamics and Earthquake Engineering, 1(11) (1992) 61-27.
- [2] M. Rashidi, S.M. Haeri, Evaluation of behaviors of earth and rockfill dams during construction and initial impounding using instrumentation data and numerical modeling, Journal of Rock Mechanics and Geotechnical Engineering, 4(9) (2017) 725-709.
- [3] D. Russo, S. Sica, S. Del Gaudio, R. De Matteis, A. Zollo,

### ۶-نتیجه‌گیری

در این مطالعه به تحلیل پاسخ لرزهای سدهای خاکی با هسته رسی تحت رکوردهای زلزله تجزیه شده مبتنی بر تئوری موجک پرداخته شد. رکوردهای زلزله با استفاده از روش کاهش نویز و تا ۵ سطح تجزیه شدن. در روش کاهش نویز فرکانس‌های بالا و پایین موج اصلی زلزله از یکدیگر جدا شده و به دو موج جزئیات و تقریبات تجزیه می‌شود. در ادامه موج تقریبات مجدد تجزیه می‌شود تا موج تقریبات جدیدی حاصل شود. سد خاکی با ارتفاع ۵۰ متر با استفاده از برنامه المان محدود Plaxis تحت رکوردهای زلزله اصلی (یعنی ۸ رکورد) و تجزیه‌ی آنها (یعنی ۴۰ رکورد) تحلیل دینامیکی شد.  $S_v/a_{max}$ ، نسبت طيف پاسخ شتاب ( $S_a/a_{max}$ )، نسبت طيف سرعت ( $v_{max}/a_{max}$ )، نسبت طيف جابه‌جايی ( $S_d/d_{max}$ )، طيف دامنه فوريه و تاريχچه زمانی شدت آریاس تاج سدهای خاکی تحت رکوردهای زلزله اصلی و رکوردهای تجزیه شده مبتنی بر تئوری موجک محاسبه شد.

نسبت طيفهای پاسخ شتاب تاج سدهای خاکی تحت رکوردهای زلزله اصلی و تجزیه شده به شتاب بيшиينه ( $S_a/a_{max}$ ) بررسی و مقایسه شد. این مقایسه نشان می‌دهد که رکوردهای زلزله تجزیه شده مبتنی بر روش کاهش نویز تا سطح چهارم در نتایج حاصل از رکوردهای اصلی سازگار می‌باشند. بررسی نسبت طيف سرعت به سرعت بيшиينه ( $S_v/v_{max}$ ) و نسبت  $S_d/d_{max}$  تحت رکوردهای اصلی و تجزیه شده حاکی از آن است که رکوردهای تجزیه شده مبتنی بر روش کاهش نویز تا سطح تجزیه چهارم با نتایج حاصل از رکوردهای اصلی از مطابقت بالایی برخوردار می‌باشند. در تحلیلهای دینامیکی انجام شده تحت زلزلهای مختلف، اختلاف حداکثر مقدار نسبت طيف شتاب، نسبت طيف سرعت و نسبت طيف جابه‌جايی تحت رکورد سطح سوم تجزیه و رکورد اصلی به ترتیب برابر با ۲۱/۵۱ و ۴/۱۹ و ۸/۶۲ درصد می‌باشد. همچنانی مقایسه‌ی طيف دامنه فوريه

- Procedia Engineering, 158 (2016) 361-356.
- [14] Charatpangoon, J. Kiyono, A. Furukawa, C. Hansapinyo, Dynamic analysis of earth dam damaged by the 2011 Off the Pacific Coast of Tohoku Earthquake, Soil Dynamics and Earthquake Engineering, 64 (2014) 62-50.
- [15] Y. Sawada, H. Nakazawa, T. Oda, S. Kobayashi, S. Shibuya, T. Kawabata, Seismic performance of small earth dams with sloping core zones and geosynthetic clay liners using full-scale shaking table tests, Soils and foundations, 3(58) (2018) 519-533.
- [16] S. Park, N. R. Kim, Safety evaluation of cored rockfill dams under high seismicity using dynamic centrifuge modeling, Soil Dynamics and Earthquake Engineering, 97 (2017) 363-345.
- [17] Xu, D. Zou, X. Kong, Z. Hu, Y. Zhou, Dynamic damage evaluation on the slabs of the concrete faced rockfill dam with the plastic-damage model, Computers and Geotechnics, 65 (2015) 265-258.
- [18] K. I. Andrianopoulos, A. G. Papadimitriou, G. D. Bouckovalas, D. K. Karamitros, Insight into the seismic response of earth dams with an emphasis on seismic coefficient estimation Computers and Geotechnics 55 (2014) 210-195.
- [19] H. Javdanian, H. R. Zarif Sanaye, L. Shakarami, A regression-based approach to predict crest settlement of embankment dams under earthquake shaking, Scientia Iranica, 27 (2) (2020) 681-671.
- [20] H. Javdanian, L. Shakarami, H. R. Zarif Sanaye, Modeling seismic settlement of earth dams due to earthquake loading, In: International Conference on New Findings of Civil, Architectural and Iran Building Industry, 11 December, Tehran, Iran, 2018.
- [21] H. Javdanian, B. Pradhan, Assessment of earthquake-induced slope deformation of earth dams using soft computing techniques, Landslides, 1(16) (2019) 103-91.
- [22] L. Shakarami, H. Javdanian, H.R. Zarif Sanaye, G. Shams, Numerical investigation of seismically induced crest settlement of earth dams, Modeling Earth Systems and Environment, 4(5) (2019) 1238-1231.
- [23] H. Javdanian, Predicting seismic slope displacements of Near-source effects on the ground motion occurred at the Conza Dam site (Italy) during the 1980 Irpinia earthquake, Bulletin of Earthquake Engineering, 10(15) (2017) -4009 4037.
- [4] F. Nasiri, H. Javdanian, A. Heidari, Behavior of earth dams due to downsampling-based records. In: 8th International Conference on Seismology and Earthquake Engineering (SEE8), 11 November, Tehran, Iran, 2019.
- [5] S. Chakraborty, J. T. Das, A. J. Puppala, A. Banerjee, Natural frequency of earthen dams at different induced strain levels, Engineering geology, 248 (2019) 345-330.
- [6] A. W. M. Elgamal, R. F. Scott, M. F. Succarieh, L. Yan, La Villita dam response during five earthquakes including permanent deformation, Journal of Geotechnical Engineering, 10(116) (1990) 1462-1443
- [7] Papalou, J. Bielak, Nonlinear seismic response of earth dams with canyon interaction, Journal of Geotechnical and Geoenvironmental Engineering, 1(130) (2004) -103 110.
- [8] L. Pelecanos, S. Kontoe, L. Zdravkovic, Dam-reservoir interaction effects on the elastic dynamic response of concrete and earth dams, Soil Dynamics and Earthquake Engineering, 82 (2016) 141-138.
- [9] L. Pelecanos, S. Kontoe, L. Zdravkovic, The effects of dam-reservoir interaction on the nonlinear seismic response of earth dams, Journal of Earthquake Engineering, (2018) 23-1.
- [10] S. Rampello, E. Cascone, N. Grossi, Evaluation of the seismic response of a homogeneous earth dam, Soil Dynamics and Earthquake Engineering, 5(29) (2009) -782 798.
- [11] X. M. Ding, H. L. Liu, T. Yu, G. Q. Kong, Nonlinear finite element analysis of effect of seismic waves on dynamic response of Shiziping dam, Journal of Central South University, 8(20) (2013) 2332-2323.
- [12] D. Aliberti, E. Cascone, G. Biondi, Seismic performance of the San Pietro dam, Procedia Engineering, 158 (2016) 367-362.
- [13] F. Castelli, V. Lentini, C. A. Trifaro, 1D seismic analysis of earth dams: the example of the Lentini site,

- (2016) 1183-1169.
- [32] O. Rioul, M. Vetterli, Wavelets and signal processing, IEEE signal processing magazine, 8 (1991) 38-14.
- [33] I. Daubechies, The wavelet transform, time-frequency localization and signal analysis, IEEE Trans Inf. Theory, 5)36) (1990) 1005-961.
- [34] A. Heidari, S. Pahlavan sadegh, J. Raeisi, Investigating the effect of soil type on non-linear response spectrum using wavelet theory, International Journal of Civil Engineering, (2019). <https://doi.org/10.1007/s6-00394-019-40999>.
- [35] R. E. Crochiere, Digital Signal Processor: Sub-Band Coding, Bell System Technical Journal, 7)60) (1981) -1633 1653.
- [36] E. Salajegheh, A. Heidari, Optimum design of structures for earthquake induced loading by wavelet neural network, In Intelligent Computational Paradigms in Earthquake Engineering, IGI Global, (2007) 100-80.
- [37] L. Donoho, Nonlinear wavelet methods for recovery of signals, densities, and spectra from indirect and noisy data, In Proceedings of Symposia in Applied Mathematics. 47 (1993) <http://dx.doi.org/10.1090/psapm/047>.
- [38] A. Ansari, A. Noorzad, H. Zafarani, H. Vahidifard, Correction of highly noisy strong motion records using a modified wavelet de-noising method, Soil Dynamics and Earthquake Engineering 30(11) (2010) 1168-1181.
- [39] R. B. J. Brinkgreve, (Ed.). Plaxis 2D: finite element code for soil and rock analyses, Version 8, Balkema Publisher, The Netherlands,(2002).
- [40] R. L. Kuhlemeyer, J. Lysmer, Finite element method accuracy for wave propagation problems, Journal of the Soil Mechanics and Foundations Division, 99 (1973) 427-421.
- [41] A. Arias, Measure of earthquake intensity, Massachusetts Institute of Technology, Cambridge, University of Chile, Santiago de Chile, (1970).
- embankment dams using fuzzy systems, Journal of Dam and Hydroelectric Powerplant, 19)5) (2019) 35-25.
- [24] A Heidari, E. Salajegheh, Wavelet analysis for processing of earthquake records, Asian Journal of Civil Engineering, 5)9) (2008) 524-513.
- [25] T. P. Banjade, S. Yu, J. Ma, Earthquake accelerogram denoising by wavelet-based variational mode decomposition, Journal of Seismology, 4)23) (2019) -649 663.
- [26] A. Kaveh, V. R. Mahdavi, A new method for modification of ground motions using wavelet transform and enhanced colliding bodies optimization. Applied Soft Computing, 47 (2016) 369-357.
- [27] S. Soroushian, E. M. Maragakis, A. Ansari, Estimation of vertical floor displacement using a wavelet de-noising method, Journal of Earthquake Engineering, 2)20) (2016) 297-279.
- [28] G. Ghodrati Amiri, A. A. Rad, N. K. Hazaveh, Wavelet-based method for generating nonstationary artificial pulse-like near-fault ground motions, Computer-Aided Civil and Infrastructure Engineering, 10)29) (2014) -758 770.
- [29] Salajegheh, A. Heidari, Optimum design of structures against earthquake by adaptive genetic algorithm using wavelet networks, Structural and Multidisciplinary Optimization, 4)28) (2004) 285-277.
- [30] Salajegheh, A. Heidari, Optimum design of structures against earthquake by wavelet neural network and filter banks, Earthquake engineering & structural dynamics, 1)34) (2005) 82-67.
- [31] Smyrou, I. E. Bal, P. Tasiopoulou, G. Gazetas, Wavelet analysis for relating soil amplification and liquefaction effects with seismic performance of precast structures, Earthquake Engineering & Structural Dynamics, 7)45)

چگونه به این مقاله ارجاع دهیم

F. Nasiri, H. Javadanian, A. Heidari, Dynamic Analysis of Earth Dams under De-Noised Earthquake Records, Amirkabir J. Civil Eng., 53(7) (2021) 3101-3114.

DOI: [10.22060/ceej.2020.17687.6648](https://doi.org/10.22060/ceej.2020.17687.6648)

